

## اثر توزیع المانهای زبری بر ضریب زبری مانینگ $n$

حمیدرضا تدین فر<sup>۱</sup>  
محمود فغفور مغربی<sup>۲</sup>

### چکیده

یکی از مهم ترین پارامترهای بررسی رفتار رودخانه ها، پارامتر مقاومت در برابر جریان است. تاکنون برای یافتن ضریب مقاومت در برابر جریان تلاش های زیادی صورت گرفته و روش های مختلفی نیز ارائه شده است. اما از آنجایی که در طبیعت پراکندگی زبریها بسیار نامشخص، تصادفی و از یک مقطع به مقطع دیگر تفاوتها فاحش می باشد، رابطه ای که بتواند اثرات کلی زبریها را با همه رفتارهای غیر خطی مقاومتی در برابر جریان بیان کند، کار ساده ای نخواهد بود. به نظر می رسد باید به گونه ای مشخص اثر توزیع و اندازه المانهای زبری در روابط پیشنهادی لحاظ گردد. در مقاله حاضر در یک فلوم آزمایشگاهی اقدام به شبیه سازی بستر یک رودخانه گردیده است که تحت حالت های مختلف زبری از نظر توزیع، اندازه و دبی های مختلف قرار گرفته، سپس بر اساس یک تحلیل آماری بهترین ضریب زبری مانینگ، با استفاده از اطلاعات تمامی بازه ها بدست آورده شده است. نتایج نشان می دهد زمانیکه تمرکز المانهای زبری کم است مقدار ضریب زبری مانینگ  $n$  کمتر از آن چیزی است که از روابط معمول حاصل می شود(نظیر رابطه استریکلر که بر اساس  $d_{50}$  ارائه شده) و با افزایش تراکم المانهای زبری مقدار  $n$  به سمت رابطه استریکلر نزدیک می شود.

**واژه های کلیدی :** ضریب زبری مانینگ( $n$ )، زبری، توزیع المان های زبری، جریان متغیر تدریجی، مقاومت جریان.

### مقدمه

تحقیقات علمی بر روی جریان در کانالها و لوله ها به قرنها پیش بر می گردد اما مطالعات سینماتیک جریانهای روباز از نیمه دوم قرن نوزدهم شروع شد. پس از آن می توان به کارهای (1932) Shukry و (1950) Nikuradse اشاره کرد [۱]. Nakagawa and (1996) Nezu (1996) نیز مشاهده شکل گیری زبریهای نواری طولی در بسترهاش شن و ماسه ای را گزارش کرده اند [۲]. از دیگر پژوهش های انجام گرفته می توان به بررسی آزمایشگاهی تاثیر آرایش زبری بر مشخصات پرش هیدرولیکی در حوضچه های آرامش اشاره کرد [۴]. همچنین می توان به بررسی آزمایشگاهی اثر تغییر تراکم پوشش گیاهی شاخه ای بر ضریب زبری مانینگ [۵] و تحقیق صورت گرفته پیرامون روشی برای پیش بینی خطوط هم سرعت بدون بعد در کانال های با زبری های یکنواخت و غیر یکنواخت، اشاره داشت [۸]. بررسی و مطالعه ای جریان در کانالهای باز به علت کاربرد فراوان آن در طبیعت و صنعت مورد توجه محققان بوده است. بیشتر این نوع جریانها در کانالهای زبر اتفاق می افتد و در مجاری طبیعی به ندرت شرایط کanal صاف ایجاد خواهد شد. از آنجا که در تخمین سرعت، دبی و مشخصات دیگر جریان در کانالهای باز، زبری نقش مهمی ایفا می کند، تعیین مناسب و بهینه آن همواره از اهمیت زیادی برخوردار

بوده است. روابط متفاوت برای ضریب مقاومت جریان (مانند ضرایب مانینگ، شزی و دارسی - وایسیاخ) و گاه روش‌های مختلف در بدست آوردن یک ضریب خاص دلیل بر این مسئله است. یکی از مسائل جالب توجه در رابطه با زبری در کانالهای باز چگونگی توزیع زبری در کanal و تأثیر آن بر کمیتهای مختلف جریان است. از آن جمله می‌توان به رودخانه‌هایی که دارای بستر متجرک شامل رسوبات درشت و نرم در کف هستند اشاره کرد که این مصالح در طول کanal پس از طی مدتی از یکدیگر جدا شده و به شکل‌های مختلف در جهت جریان قرار می‌گیرند. این پدیده به خصوص هنگامی که جریان در مدت طولانی در حالت ماندگار بصورت یکنواخت برقرار باشد، نمود بیشتری پیدا می‌کند.

یکی از متداول ترین معادلات مقاومت برای جریان در کانالهای باز، رابطه مانینگ است. این معادله در سیستم SI به صورت زیر می‌باشد:

$$V = \frac{1}{n} R^{\frac{2}{3}} S_f^{\frac{1}{2}} \quad (1)$$

که در آن  $V$  سرعت جریان ( $m/s$ ),  $S_f$  شیب اصطکاکی کanal ( $m/m$ ),  $R$  شعاع هیدرولیکی ( $m$ ) و  $n$  ضریب زبری مانینگ است. مهمترین عامل ناشناخته در این رابطه ضریب زبری  $n$  می‌باشد [۶]. یکی از روابطی که کاربرد زیادی در مجاری طبیعی دارد، رابطه استریکلر (Strickler) است که بصورت زیر ظاهر می‌شود:

$$n = \frac{d_{50}^{1/6}}{31.3} = 0.032 d_{50}^{1/6} \quad (2)$$

که در آن  $d_{50}$  قطر میانه ذرات بر حسب ft می‌باشد.

تعیین دقیق این ضریب به سادگی در سطوحی از مصالح که به صورت تجارتی ساخته می‌شوند کار نسبتاً ساده ای است [۷]. به نظر می‌رسد باید به گونه‌ای مشخص اثر توزیع و اندازه المانهای زبری در روابط پیشنهادی لحاظ گردد. در این مقاله مشخصات جریان در کanal های مستقیم با زبری یکنواخت وغیر یکنواخت، شبکه های مربعی و قطری، مورد مطالعه قرار می‌گیرد و روشی برای محاسبه ضریب زبری مانینگ در این گونه کanal ها ارائه می‌شود. این کار با تجزیه و تحلیل یک مجموعه اطلاعات آزمایشگاهی تولید شده در یک کanal تحقیقاتی که کف و جداره های آن با آرایش و توزیعهای مختلفی از المانهای زبری پوشیده شده، در آزمایشگاه هیدرولیک دانشکده مهندسی دانشگاه فردوسی مشهد انجام گردیده است.

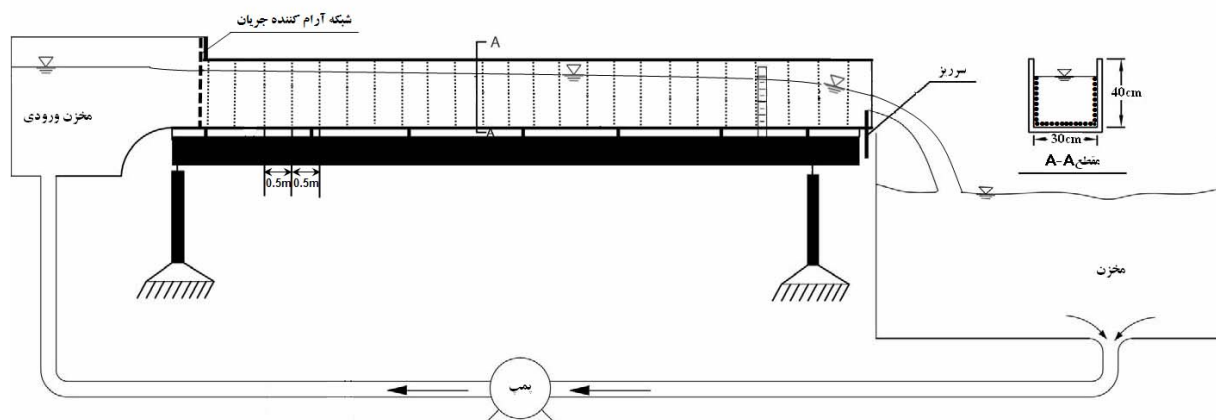
## مواد و روشها

برای اینکه بتوان اثر توزیع زبری های موجود در طبیعت را بر ضریب زبری مانینگ بررسی نمود اقدام به شبیه سازی محیط رودخانه ای در فلوم آزمایشگاهی شده است. مطالعات در یک کanal مستطیلی مانند شکل (۱) به عرض ۳۰cm، ارتفاع ۴۰cm، طول ۱۲m و شیب ۰.۰۰۰۵۵ انجام گرفته است. دبی جریان به روش حجمی اندازه گیری شده است که به کمک این دبی، سرریز کanal نیز کالیبره شده است. چهت زبر کردن جداره و کف کanal از مصالح سنگدانه رودخانه ای به قطراهای  $d_{50}=17.5mm$  و  $11.35mm$  و  $4.00mm$  استفاده شده است. زبری چهارم از ترکیب سه بندی ذکر شده طوری انتخاب می‌گردد که اندازه  $d_{50}$  آن برابر  $11.35mm$  حاصل گردد. برای روشن شدن موضوع بطور مثال در شکل (۲) آرایش های ایجاد شده در چهار حالت از (الف) تا (د) برای  $d_{50}=17.5mm$  آورده شده است. انتخاب دانه بندی های فوق به دلیل استفاده از زبری معادل آنها در کارهای اجرایی و طبیعی است.

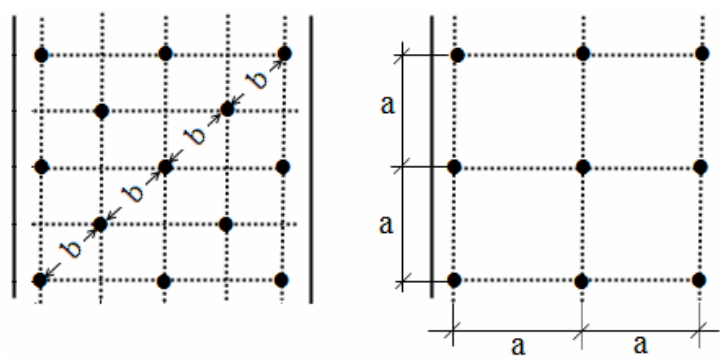
دانه های شن و ماسه طبق آرایش های مربعی و قطری مانند شکل (۳) در فواصلی بر حسب اندازه ذره، بر روی شبیه چسیانده شده، سپس شبیه ها در امتداد یکدیگر در طول کanal بر روی جداره و گف نصب می‌شوند. با توجه به ترکیب های مختلف، آزمایش ترتیب داده می‌شود (۴ نوع دانه بندی، ۴ نوع المانهای زبری و ۴ دبی مختلف). برداشت تراز سطح آب با استفاده از پوینت گیج در طول کanal و در بازه های  $0.5m$ /. که به منظور لحاظ نمودن انحنای سطح آب مورد نیاز است، انجام گرفته است. بنابراین با توجه به طول ۱۲متری فلوم آزمایشگاه، سطح آب در ۲۴ نقطه قرائت می‌شود.

به منظور آسان تر شدن ارجاع به آزمایشات نشانه گذاری انجام گرفته است. بدین صورت که اولین حرف لاتین از سمت چپ بیانگر اندازه ذرات المانهای زبری است. A بیانگر ذرات با  $d_{50}=17.5mm$  B اشاره به ذرات با  $d_{50}=11.35mm$  C مربوط به  $d_{50}=4.00mm$  M مربوط به دانه بندی ترکیبی با  $d_{50}=11.35mm$  است. در شبکه های مربعی عدد سمت راست حرف لاتین بیانگر فاصله بین المانهای زبری بر حسب  $d_{50}$  است که در گذر از آرایش مربعی به آرایش قطری سنگدانه ها (در مرکز هر مربع یک سنگدانه کاشته می‌شود) سمبول

مربوط به این نوع آزمایشات با D (Diagonal) نشان داده شده است. در نهایت عدد سمت راست خط فاصله نشان دهنده مقدار دی آزمایش مورد نظر بوده که بر حسب  $lit/sec$  گرد شده است. خلاصه این نشانه گذاری ها در جدول (۱) آورده شده است. با استفاده از معادله (۲) زیری مانینگ معادل ذرات با  $d_{50}=4.00mm$  برابر با  $155$ ٪ خواهد شد که این زیری معادل زیری در کانال با کف بتنی خوب می باشد [۶]. همچنین زیری معادل مانینگ برای ذرات با  $d_{50}=11.35mm$  برابر با  $1846$ ٪ خواهد شد که معادل زیری کانالهایی است که در مسیر مستقیم در ماسه کوبیده و صاف حفاری شده یا می توان به کانالهای با بنای فرسوده و کانالهای خاکی طبیعی صاف و بدون رستنی ها اشاره کرد. زیری معادل مانینگ برای ذرات با  $d_{50}=17.5 mm$  برابر با  $198$ ٪ خواهد شد که معادل زیری کانالهای با کف شنی و صافی متوسط که خوب اجرا شده باشد، است. مطالب فوق را بطور خلاصه می توان بصورت جدول (۲) نمایش داد.



شکل (۲) آرایش مصالح سنگانه ای با  $d_{50}=17.5mm$  (الف)  $2d_{50}$  (ب)  $d_{50}=4d_{50}$  (ج)  $8d_{50}$  (د)  $40d_{50}$



شکل (۳) چیدمانهای مختلف المانهای زیری در کف و جداره کanal (الف) شبکه مربعی و (ب) شبکه قطری.

جدول(۱) اطلاعات مربوط به نحوه توزیع المانهای زبری و مقدار دبی در آزمایشات مختلف

دبی lit/sec	نوع آرایش	b یا a پرحسب d <sub>50</sub> از ضریب	اندازه ذرات mm	نشانه	دبی lit/sec	نوع آرایش	b یا a پرحسب d <sub>50</sub> از ضریب	اندازه ذرات mm	نشانه
5.0	شبکه مربعی	8	4.00	C8-5	5.0	شبکه مربعی	8	17.5	A8-5
10.0	شبکه مربعی	8	4.00	C8-10	10.0	شبکه مربعی	8	17.5	A8-10
15.0	شبکه مربعی	8	4.00	C8-15	15.0	شبکه مربعی	8	17.5	A8-15
20.0	شبکه مربعی	8	4.00	C8-20	20.0	شبکه مربعی	8	17.5	A8-20
5.0	شبکه مربعی	4	4.00	C4-5	5.0	شبکه مربعی	4	17.5	A4-5
10.0	شبکه مربعی	4	4.00	C4-10	10.0	شبکه مربعی	4	17.5	A4-10
15.0	شبکه مربعی	4	4.00	C4-15	15.0	شبکه مربعی	4	17.5	A4-15
20.0	شبکه مربعی	4	4.00	C4-20	20.0	شبکه مربعی	4	17.5	A4-20
5.0	شبکه قطری	2.83	4.00	CD-5	5.0	شبکه قطری	2.83	17.5	AD-5
10.0	شبکه قطری	2.83	4.00	CD-10	10.0	شبکه قطری	2.83	17.5	AD-10
15.0	شبکه قطری	2.83	4.00	CD-15	15.0	شبکه قطری	2.83	17.5	AD-15
20.0	شبکه قطری	2.83	4.00	CD-20	20.0	شبکه قطری	2.83	17.5	AD-20
5.0	شبکه مربعی	2	4.00	C2-5	5.0	شبکه مربعی	2	17.5	A2-5
10.0	شبکه مربعی	2	4.00	C2-10	10.0	شبکه مربعی	2	17.5	A2-10
15.0	شبکه مربعی	2	4.00	C2-15	15.0	شبکه مربعی	2	17.5	A2-15
20.0	شبکه مربعی	2	4.00	C2-20	20.0	شبکه مربعی	2	17.5	A2-20
5.0	شبکه مربعی	8	11.35	M8-5	5.0	شبکه مربعی	8	11.35	B8-5
10.0	شبکه مربعی	8	11.35	M8-10	10.0	شبکه مربعی	8	11.35	B8-10
15.0	شبکه مربعی	8	11.35	M8-15	15.0	شبکه مربعی	8	11.35	B8-15
20.0	شبکه مربعی	8	11.35	M8-20	20.0	شبکه مربعی	8	11.35	B8-20
5.0	شبکه مربعی	4	11.35	M4-5	5.0	شبکه مربعی	4	11.35	B4-5
10.0	شبکه مربعی	4	11.35	M4-10	10.0	شبکه مربعی	4	11.35	B4-10
15.0	شبکه مربعی	4	11.35	M4-15	15.0	شبکه مربعی	4	11.35	B4-15
20.0	شبکه مربعی	4	11.35	M4-20	20.0	شبکه مربعی	4	11.35	B4-20
5.0	شبکه قطری	2.83	11.35	MD-5	5.0	شبکه قطری	2.83	11.35	BD-5
10.0	شبکه قطری	2.83	11.35	MD-10	10.0	شبکه قطری	2.83	11.35	BD-10
15.0	شبکه قطری	2.83	11.35	MD-15	15.0	شبکه قطری	2.83	11.35	BD-15
20.0	شبکه قطری	2.83	11.35	MD-20	20.0	شبکه قطری	2.83	11.35	BD-20
5.0	شبکه مربعی	2	11.35	M2-5	5.0	شبکه مربعی	2	11.35	B2-5
10.0	شبکه مربعی	2	11.35	M2-10	10.0	شبکه مربعی	2	11.35	B2-10
15.0	شبکه مربعی	2	11.35	M2-15	15.0	شبکه مربعی	2	11.35	B2-15
20.0	شبکه مربعی	2	11.35	M2-20	20.0	شبکه مربعی	2	11.35	B2-20

در جدول (۳) مقادیر  $a$  و  $b$  نمایش داده شده در شکل (۳)، برای آرایش های مربعی و قطری آمده است. برای اعمال نمودن قطر ذرات و کاهش عرض مقطع و ارتفاع آب، از قطر معادل استفاده شده است. در این روش حجم سنگدانه های استفاده شده را با حجم مکعب مستطیلی به ارتفاع  $d$  برابر فرض نموده واژ آنجا قطر معادل یعنی  $d$  محاسبه می شود. این محاسبات در جدول (۴) آمده است.

جدول(۲) ضریب زبری معادل لایه های مختلف زبری

نسبت زبری ها	ضریب زبری مانینگ(n)	ارتفاع زبری $k_s/mm$	نوع زبری
1	0.008	صاف	شیشه
2.475	0.0198	17.5	زبری درشت
2.313	0.0185	11.35	زبری متوسط
1.938	0.0155	4.00	زبری ریز

جدول(۳) مقادیر a و b در آرایش های مختلف

$2d_{50}$	آرایش مربعی	آرایش قطری	$4d_{50}$	آرایش مربعی	$8d_{50}$	آرایش مربعی	اندازه دانه (mm)
a(mm)	b(mm)	a(mm)	a(mm)	b(mm)	a(mm)	a(mm)	(mm)
35	35	70	140		17.5		
22.7	22.7	45.4	90.8		11.35		
8	8	16	32		4.00		

جدول(۴) محاسبات درصد تراکم و ارتفاع معادل زبری

محاسبه ارتفاع معادل زبری(d:mm)	حجم زبری (mm <sup>3</sup> )	درصد تراکم	تعداد دانه ها در مقطع	عرض مقطع (mm)	طول مقطع (mm)	آرایش بر حسب ضریبی از d <sub>50</sub>	اندازه تراک (mm)
0.206	16837	1.77	6	292	280	8	17.50
0.515	42092	4.41	15	292	280	4	17.50
1.236	88394	10.59	31.5	292	245	2.83	17.50
2.471	176788	21.18	63	292	245	2	17.50
0.087	4593	1.14	6	292	181.6	8	11.35
0.404	160777	5.34	21	292	136.2	4	11.35
0.751	34834	9.92	45.5	292	158.9	2.83	11.35
1.501	69667	19.84	91	292	158.9	2	11.35
0.032	905	1.21	27	292	96	8	4.00
0.136	4457	5.11	133	292	112	4	4.00
0.265	8679	9.95	259	292	112	2.83	4.00
0.531	17358	19.90	518	292	112	2	4.00

## معادلات حاکم

محاسبات جریان کanal رواباز اغلب بازه به بازه و یا مقطع به مقطع صورت می گیرد و بر این اساس ضریب مقاومت جریان هم باید تعیین گردد. با فرض محاسبات جریان متغیر تدریجی، و داشتن اطلاعات پروفیل سطح آب با استفاده از معادله انرژی در بازه های طولی به زبریهای تئوریک مختلفی می توان دست یافت که قاعده اتا باید جوابهای متفاوتی برای یک نوع خاص از زبری باشد [۱۰]. بنابراین با استفاده از معادله انرژی بین دو مقطع می توان نوشت:

$$\frac{p_1}{\gamma} + y_1 + \frac{V_1^2}{2g} + z_1 = \frac{p_2}{\gamma} + y_2 + \frac{V_2^2}{2g} + z_2 + h_f \quad (3)$$

با توجه به آنکه در سطح آب فشار اتمسفریک است، داریم:

$$z_2 - z_1 = S_0 \Delta x = S_0 (x_2 - x_1) \quad (4)$$

$$h_f = \bar{S}_f \Delta x = \frac{S_{f1} + S_{f2}}{2} \Delta x \quad (5)$$

از طرفی از معادله (1) داریم:

$$\overline{S_f} = \frac{\overline{Q}^2 n^2}{A^2 R^{\frac{4}{3}}} \quad (6)$$

با استفاده از معادلات (3) تا (6) و ساده کردن عبارات خواهیم داشت:

$$(y_1 - y_2) + \left( \frac{\overline{Q}^2}{2A_1^2 g} - \frac{\overline{Q}^2}{2A_2^2 g} \right) + S_0 (x_2 - x_1) = \frac{n^2}{2} \left\{ \left( \frac{\overline{Q}^2}{A_1^2 R_1^{\frac{4}{3}}} + \frac{\overline{Q}^2}{A_2^2 R_2^{\frac{4}{3}}} \right) (x_2 - x_1) \right\} \Rightarrow$$

$$n = \frac{\sqrt{\frac{Q^2}{A_2^2 g} - \frac{Q^2}{A_1^2 g} - 2S_0(x_2 - x_1) + 2(y_2 - y_1)}}{\sqrt{\frac{Q^2 x_1}{A_1^2 R_1^3} + \frac{Q^2 x_1}{A_2^2 R_2^3} - \frac{Q^2 x_2}{A_1^2 R_1^3} - \frac{Q^2 x_2}{A_2^2 R_2^3}}} \quad (7)$$

که در معادلات فوق  $y$  عمق جریان،  $S_0$  شیب طولی کanal،  $x$  فاصله مقطع از ابتدای کanal،  $A$  مساحت مقطع،  $R$  شعاع هیدرولیکی،  $n$  ضریب زبری مانینگ، همچنین شماره های ۱ و ۲ در اندیس فرمول ها بیانگر شماره مقطع می باشد.

### بررسی نتایج

بر اساس یک تحلیل آماری (از میانگین بعنوان بهترین معرف برای ضرایب زبری در کanal استفاده شده است) ضریب زبری مانینگ  $n$  را با استفاده از اطلاعات تمامی بازه ها می توان بدست آورد. در جدول (۵) با در نظر گرفتن جریان متغیر تدریجی، اطلاعات مربوط به آزمایش B2-10 آورده شده است. همچنین میزان پراکندگی مجموعه داده ها حول میانگین یا به بیان علمی تر گستردگی توزیع احتمال و فاصله متغیر تصادفی از مقدار میانگین، تحت عنوان انحراف معیار آمده است.

جدول (۵) محاسبات ضریب زبری مانینگ در مقطع طولی

مشخصات المان زبری: $Q=10.0 \text{ lit/sec}$												
					عرض مقطع کanal (mm): 288.998					$2d_{50}$		
$d_{50}(\text{mm}) = 11.35$												
شماره مقطع	$x_1(m)$	$x_2(m)$	$y_1(mm)$	$y_2(mm)$	$A_1(m^2)$	$A_2(m^2)$	$V_1(m^3/s)$	$V_2(m^3/s)$	$R_1(m)$	$R_2(m)$	$S_0$	$S_{f1}/n^2$
1	0.3	0.8	146.5	146.5	0.04234	0.04234	0.2362	0.2362	0.07275	0.07275	0.00055	1.837081
2	0.8	1.3	147.5	147.5	0.04263	0.04263	0.2346	0.2346	0.07299	0.07299	0.00055	1.804126
3	1.3	1.8	148.5	148.5	0.04292	0.04292	0.233	0.233	0.07324	0.07324	0.00055	1.772005
4	1.8	2.3	149	148.5	0.04306	0.04292	0.2322	0.233	0.07336	0.07324	0.00055	1.75625
5	2.3	2.8	149.5	149.5	0.0432	0.0432	0.2315	0.2315	0.07348	0.07348	0.00055	1.740693
6	2.8	3.3	150	150	0.04335	0.04335	0.2307	0.2307	0.0736	0.0736	0.00055	1.725331
7	3.3	3.8	151	151	0.04364	0.04364	0.2292	0.2292	0.07384	0.07384	0.00055	1.695182
8	3.8	4.3	151	151	0.04364	0.04364	0.2292	0.2292	0.07384	0.07384	0.00055	1.695182
9	4.3	4.8	152	152	0.04393	0.04393	0.2276	0.2276	0.07408	0.07408	0.00055	1.665778
10	4.8	5.3	152	152	0.04393	0.04393	0.2276	0.2276	0.07408	0.07408	0.00055	1.665778
11	5.3	5.8	151.5	151.5	0.04378	0.04378	0.2284	0.2284	0.07396	0.07396	0.00055	1.680388
12	5.8	6.3	151	151	0.04364	0.04364	0.2292	0.2292	0.07384	0.07384	0.00055	1.695182
13	6.3	6.8	151	150.5	0.04364	0.04349	0.2292	0.2299	0.07384	0.07372	0.00055	1.695182
14	6.8	7.3	150.5	150.5	0.04349	0.04349	0.2299	0.2299	0.07372	0.07372	0.00055	1.710162
15	7.3	7.8	150.5	150.5	0.04349	0.04349	0.2299	0.2299	0.07372	0.07372	0.00055	1.710162
16	7.8	8.3	149	149	0.04306	0.04306	0.2322	0.2322	0.07336	0.07336	0.00055	1.75625
17	8.3	8.8	150.5	150.5	0.04349	0.04349	0.2299	0.2299	0.07372	0.07372	0.00055	1.710162
18	8.8	9.3	151	151	0.04364	0.04364	0.2292	0.2292	0.07384	0.07384	0.00055	1.695182
19	9.3	9.8	151	151	0.04364	0.04364	0.2292	0.2292	0.07384	0.07384	0.00055	1.695182
20	9.8	10.3	150.5	150.5	0.04349	0.04349	0.2299	0.2299	0.07372	0.07372	0.00055	1.710162
21	10.3	10.8	152	152	0.04393	0.04393	0.2276	0.2276	0.07408	0.07408	0.00055	1.665778
22	10.8	11.3	152	152	0.04393	0.04393	0.2276	0.2276	0.07408	0.07408	0.00055	1.665778
23	11.3	11.8	152.5	152.5	0.04407	0.04407	0.2269	0.2269	0.0742	0.0742	0.00055	1.6513479
24	11.8	153	----	0.04422	----	0.2262	----	0.07431	----	0.00055	1.637095	----
قدار ضریب زبری مانینگ (بس از محاسبات آماری):					انحراف معیار:					0.0182347		
0.01823					0.002565897					0.0182347		
میانگین ضریب زبری مانینگ:												

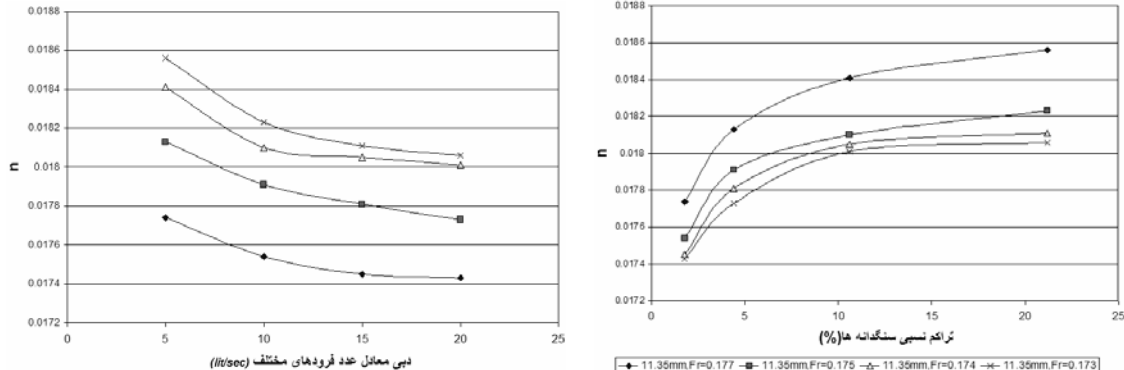
درستی آزمایی مقادیر حاصل از زبری با استفاده از روش‌های آماری توسط نرم افزار SPSS انجام می شود. با توجه به حجم زیاد اطلاعات حاصل شده نسبت به ارائه فرمولهای جدیدی که بیانگر رابطه ضریب زبری مانینگ  $n$  نسبت به متغیرهای  $c, Fr, Re$  هستند، امکان پذیر خواهد بود. در این نرم افزار از چهار روش Backward, Stepwise, Forward و Enter مناسبتر تشخیص داده شد:

$$n = 0.032 + 2.167 \times 10^{-5} d_{50} + 2.206 \times 10^{-6} c - 0.063 Fr - 1.835 \times 10^{-7} Re \quad (8)$$

در فرمول فوق  $d_{50}$  بر حسب  $c mm$  تراکم نسبی سنگدانه ها بر حسب درصد،  $Fr$  عدد فرود جریان و  $Re$  عدد رینولز می باشد. در رابطه (۸) مقدار  $R^2$  برابر ۰.۹۹۶ می باشد که میین دقت بالای روش در برآش فرمول بر داده ها می باشد. اگر فقط اثر تراکم نسبی سنگدانه ها نسبت به ضریب زبری مانینگ بررسی شود رابطه (۹) حاصل خواهد شد:

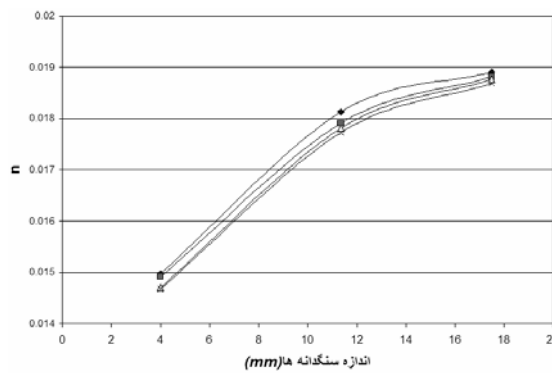
$$n = 0.017 + 3.95 \times 10^{-5} c \quad (9)$$

از این رابطه می توان در تخمین ضریب زبری مانینگ برای تراکم های متفاوت استفاده نمود.



شکل(۵) تغییرات ضریب مانینگ نسبت به عدد فرود

شکل(۴) تغییرات ضریب مانینگ نسبت به تراکم نسبی سنگدانه ها برای  
دانه بندی با  $d_{50}=11.35mm$



شکل(۶) تغییرات ضریب مانینگ نسبت به اندازه دانه ها

همانطور که در شکل (۴) نشان داده شده، در اعداد فرود پائین تر ضریب مانینگ آهنگ افزایشی خود را تا ضریب تراکم 10% حفظ کرده و از آنجا به بعد تقریباً دارای مجانب افقی خواهد شد. بدین معنی که با افزایش ضریب تراکم تغییرات چشمگیری در روند رو به رشد ضریب مانینگ نخواهیم داشت. در حالیکه برای اعداد فرود بزرگتر، روند تغییرات ضریب مانینگ با تراکم همچنان حفظ می شود. دلیل این امر را می توان تأثیر پذیری بیشتر ضریب مانینگ در عدد فرود بیشتر بیان کرد. در صورتی که در اعداد  $Fr$  و  $Re$  کمتر، این تأثیر پذیری نیز کمتر خواهد شد.

در شکل (۵) با کاهش تراز سطح آب تغییرات ضریب زبری مانینگ با دبی معادل عدد فرود در آرایش قطری نسبت به آرایش مربعی تغییرات شدیدتری از خود نشان می دهد. این امر را می توان به حرکات زیگزاگی سیال بین زبری ها مرتبط دانست. در شکل (۶) تغییرات ضریب زبری مانینگ با اندازه سنگدانه ها برای آرایش  $4d_{50}$  نشان داده شده که دارای روند کاملاً یکنواخت بوده و با افزایش قطر دانه بندی، افزایش ضریب مانینگ را می توان مشاهده نمود.

## نتیجه گیری

با توجه به آزمایشات متنوع انجام گرفته نتایج زیر حاصل می گردد:

- ۱- با افزایش قطر سنگدانه ها یا بعبارتی با افزایش  $d_{50}$  ضریب زبری مانینگ  $n$  افزایش می یابد.
- ۲- با افزایش تعداد سنگدانه ها در کanal، یا استفاده از آرایش متراکم تر، بیشترین ضریب زبری مانینگ را نسبت به حالتی که آرایش ها از تراکم کمتری برخوردار است، رخ می دهد.
- ۳- در حالتی که از ترکیب سه دانه بندی با  $d_{50}=11.35mm$  استفاده شود، جوابهای ضریب زبری، به دانه بندی  $d_{50}=11.35mm$  نزدیک است.
- ۴- با کاهش عدد فرود، ضریب زبری مانینگ  $n$  کاهش می یابد.

## منابع

- [1] Kandlikar, S. (1986), "Roughness effects at microscale- reassessing Nikuradse's experiments on liquid Flow in rough tubes", Mechanical Engineering Department, Rochester Institute of Technology, Rochester, NY, USA.
- [2] Frings, R. (2002), "Sedimentary characteristics of the gravel-sand transition in the river Rhine" Journal of Sedimentary Research.
- [3] Nezu, I., Nakagawa, H. (1993), "Turbulence in Open-Channel Flow". IAHR Monograph Series. A.A. Balkema, Rotterdam.
- [٤] شفاعی بجستان، محمود و کاظمیان زاده، ایوب(۱۳۸۷)، "بررسی آزمایشگاهی تاثیر آرایش زبری بر مشخصات پرش هیدرولیکی در حوضچه های آرامش"، سومین کنفرانس مدیریت منابع آب ایران.
- [٥] ابراهیمی، نادرقلی، کاشنی پور، محمد، فتحی مقدم، منوچهر، صانعی، سید مجتبی و ابراهیمی، کیومرث (۱۳۸۷)، "بررسی آزمایشگاهی اثر تنفس تراکم پوشش گیاهی شاخه ای بر ضربه زبری مانینگ"، مجله علمی پژوهشی علوم و مهندسی آبخیزداری ایران، شماره ۳.
- [5] Bakhmeteff, B. A. (1932), "Hydraulics of open channels", New York, Mc Graw-Hill Book company, Inc.
- [6] Chow, V. T. (1959), "open channel hydraulics", New York, Mc Graw-Hill Book company, Inc.
- [7] Parshall, R. L. (1950), "Measuring Water in Irrigation Channel Parshall Flumes and small Weirs", U.S. Soil Conservation Service.
- [٨] غفور مغربی، محمود و رحیم پور، مجید(۱۳۸۶)، "روشی برای ترسیم خطوط هم سرعت و تخمین دبی در کانال های روباز"، مجله دانشکده فنی تبریز، جلد ۳۴، شماره ۳.
- [9] Subramanya, K. (2001), "Flow in channels", Tata McGraw- Hill Publishing Company Limited.
- [10] Ladson, A. and Anderson, B. (2000), "Towards an Australian Handbook of Stream Roughness Coefficients", New York, Mc Graw-Hill Book company, Inc.

## **Investigation of Roughness Distribution on the Manning Roughness Coefficient $n$**

**Hamid R. Tadayonfar  
Mahmoud F. Maghrebi**

### **ABSTRACT**

One of the most important parameters which affects the river behavior is the resistance coefficient. A number of formulas relating open channel flow velocity to resistance coefficient have already been proposed. In the natural open channels the height of roughness elements are drastically different from each other at different locations. So it is a difficult task to introduce a general formula which can consider all of the non-uniformity aspects of flow.

However, it is suggested that the general formula should consider the hydraulic conditions of the flow as well as the distribution and height of roughness elements. In the present paper, artificially roughened bed and walls of a flume is used to simulate the flow in a natural river. Then, the established GVF in the flume under different conditions of roughness and discharge was used to estimate the Manning roughness coefficient  $n$  for each reach.

Then based on a statistical approach the best roughness coefficient  $n$  is determined. The results are compared with the most well known formula namely Strickler(1923). It is found that when the concentration of roughness elements is high, the simulated  $n$  approaches towards the one given by the Strickler formula.

**Keywords:** Manning roughness coefficient  $n$ ; roughness; distribution and height of roughness elements; GVF; resistance flow.